

دریافت مقاله: ۱۳۹۷/۰۴/۳۱

پذیرش مقاله: ۱۳۹۸/۱۲/۱۹

ارزیابی کارایی تشخیص جعل کپی- انتقال تصاویر مبتنی بر بلاک‌بندی

فرزانه هویدا^{۱*}، اسدالله شاه‌بهرامی^۲

^۱ دانشجوی کارشناسی ارشد، گروه کامپیوتر، دانشکده فنی و مهندسی، دانشگاه آزاد اسلامی واحد لاهیجان، لاهیجان، ایران

hoveyda.f@gmail.com

^۲ دانشیار، گروه کامپیوتر، دانشکده فنی و مهندسی، دانشگاه گیلان، رشت، ایران

shahbahrani@guilan.ac.ir

چکیده: جعل کپی- انتقال، نوع خاصی از تحریف است که در آن بخش یا بخش‌هایی از یک تصویر، در قسمت‌های دیگری از همان تصویر کپی می‌شوند. این نوع دستکاری به منظور پنهان کردن بخش خاصی از تصویر و یا تکثیر یک یا چند شیء در همان تصویر انجام می‌گیرد. روش‌های متعددی برای تشخیص جعل کپی- انتقال ارائه شده است که شامل دو روش مبتنی بر بلوک^۱ و مبتنی بر نقاط کلیدی^۲ است. در این مقاله، یک روش تشخیص جعل کپی- انتقال بر اساس ویژگی‌های ترکیبی ارائه می‌شود. از ترکیب توصیفگرهای SIFT^۳، HOG, KAZE^۴ و Zernike در جهت آشکارسازی جعل‌های کپی- انتقال استفاده می‌شود. نتایج پیاده‌سازی ترکیب توصیفگرها روی تصاویر جعل شده، نشان داد که این نوع ترکیب باعث افزایش دقت تشخیص نسبت به استفاده تک‌تک و دوجه‌دوی توصیفگرها می‌گردد؛ اما این کارایی و دقت بالا با هزینه زیاد محاسبات به دست می‌آید. لذا برای کاهش حجم محاسبات از الگوریتم ژنتیک^۵ در جهت بهینه‌سازی توصیفگرها و از الگوریتم تحلیل مؤلفه اصلی برای کاهش ابعاد ویژگی‌ها استفاده شد. نتایج نشان داد که توصیفگر HOG با دقت ۹۳/۵۹ نسبت به دیگر توصیفگرها عملکرد بهتری برای تشخیص نقاط جعل دارد. ترکیب چهار توصیفگر موجب می‌شود تا عملکرد سیستم به میزان حدود ۳ درصد نسبت به HOG بهبود یافته و به دقت ۹۶/۲۹ برسد. الگوریتم ژنتیک با انتخاب بهترین ویژگی‌ها به درصد تشخیص ۹۶/۹۴ رسید. با استفاده از تحلیل مؤلفه اصلی، ابعاد ویژگی‌ها به ۳۵ بُعد کاهش داده شد که درصد تشخیص ۹۴/۶۳ به دست آمد.

واژه‌های کلیدی: کپی- انتقال، بلوک‌بندی، ارزیابی، جعل، ترکیب توصیفگرها.

1. Block-based
2. Key point-based
3. Scale Invariant Features Transform (SIFT)
4. Histogram of oriented Gradients (HOG)
5. Genetics Algorithm (GA)

۱. مقدمه

تصاویر یکی از واسطه‌های ارتباطات هستند. در دنیای امروز تصاویر دیجیتالی جزء داده‌های اصلی مورد استفاده قرار می‌گیرند؛ زیرا با توسعه و گسترش انواع دستگاه‌های دیجیتالی مانند دوربین‌ها و موبایل‌ها در هر لحظه و مکان می‌توان تصاویر مختلف را ضبط و اخذ کرد. از طرف دیگر امروزه با انواع نرم‌افزارهای مختلفی از قبیل Photoshop, Paint Touch Retouch, Superimpose, Photoblend و... می‌توان تصاویر را به راحتی دستکاری کرد. تصاویر دیجیتالی در بخش‌های زیادی استفاده می‌شوند؛ مانند مسائل نظامی، پزشکی، عکاسی و... اگر تصویری که منبع یک سند است دستکاری شود، در بسیاری از کاربردها قابل استفاده نخواهد بود. بنابراین، سؤالی که مطرح می‌شود، این است که چگونه ما تصاویر دستکاری شده و پردازش شده را از تصاویر اصلی تشخیص دهیم [۱].

تصاویر اصلی به کمک روش‌های مختلفی مانند کپی-انتقال، روتوش کردن و پیوند تصاویر جعل می‌شوند. در کپی-انتقال، قسمتی از یک تصویر در بخش‌های دیگر از همان تصویر انتقال داده می‌شود. روتوش کردن، اصلاح یا حذف جزئیات ناخواسته در تصویر است. پیوند تصاویر نیز شامل ادغام دو یا چند تصویر و تغییر تصویر اصلی برای تولید تصویر جعلی است [۱ و ۲]. با توجه به اینکه کارهایی مختلفی برای تشخیص جعل کپی-انتقال صورت گرفته، دقت تشخیص این روش‌ها پایین است. لذا ارائه و شناسایی الگوریتم‌های که توانایی بیشتری در تشخیص جعل‌های صورت گرفته داشته باشد، از چالش‌های پیش روست [۲].

هدف اصلی این مقاله، ارائه روشی برای بالا بردن دقت تشخیص سیستم‌های جعل کپی-انتقال است، در این راستا از ترکیب توصیفگرهای عمومی مانند SIFT و توصیفگرهای محلی مانند KAZE و توصیفگرهای HOG و Zernike استفاده شده است [۲].

نتایج پیاده‌سازی با توجه به آزمایش‌های مختلف و بررسی چهار توصیفگر SIFT, KAZE, HOG و Zernike نشان داد که توصیفگر HOG نسبت به دیگر روش‌ها عملکرد بهتری از خود ارائه می‌دهد و دارای دقت بیشتری است. سپس ترکیب

ویژگی‌های SIFT+KAZE+HOG+Zernike، نتایج پیاده‌سازی نشان داد که تلفیق ویژگی‌های چهار توصیفگر دارای دقت بیشتری است. در ادامه، از الگوریتم ژنتیک برای انتخاب بهترین ویژگی و از تحلیل مؤلفه اصلی برای کاهش ابعاد تصویر استفاده شده است.

این پژوهش به صورت زیر سازمان‌دهی شده است. در بخش دوم، درباره برخی از پیشینه‌های تحقیق بحث می‌شود. در بخش سوم به ترکیب روش‌ها و در بخش چهارم، به پیاده‌سازی و ارزیابی پرداخته شده است. در بخش پنجم آزمایش‌های پژوهش انجام شده و نتیجه حاصل از آن در بخش ششم مطرح گردیده است.

۲. اطلاعات اولیه و پیشینه تحقیق

در این بخش، مفاهیم اولیه تعدادی از روش‌های تشخیص جعل کپی-انتقال تعریف می‌شود و سپس به کارهای انجام شده در این زمینه پرداخته خواهد شد.

۲-۱. الگوریتم ژنتیک

الگوریتم ژنتیک یک الگوریتم بهینه‌سازی است. ایده اصلی الگوریتم ژنتیک این است که ابتدا با جمعیت اولیه‌ای که به صورت دلخواه انتخاب شده است، شروع می‌شود. سپس، عملکرد نسبی آن‌ها ارزیابی می‌گردد. بر اساس این عملکرد، یک جمعیت جدید با استفاده از پتانسیل راه‌حل‌ها از عامل‌های تکاملی ساده ایجاد می‌شود. این روند تا رسیدن به یک راه‌حل رضایت‌بخش نیز تکرار می‌شود. روند کلی این الگوریتم در شکل (۱) نشان داده شده است.

پیاده‌سازی و اجرای الگوریتم‌های ژنتیکی، تفاوت‌های چشمگیری از لحاظ ساخت جمعیت جدید دارند. برخی از پیاده‌سازی‌ها با اعمال عملگرهای ژنتیکی، یک جمعیت جداگانه از افراد جدید را در هر نسل به وجود می‌آورند. پیاده‌سازی‌های دیگر، جمعیت فعلی را با اضافه کردن افراد جدید، گسترش داده و سپس با حذف نامناسب‌ترین افراد، جمعیت جدید را به وجود می‌آورند (شکل ۲). همچنین الگوریتم‌های ژنتیکی وجود دارند که اصلاً از تولید نسل استفاده نمی‌کنند. در عوض، دارای جابه‌جایی پیوسته‌اند. بر

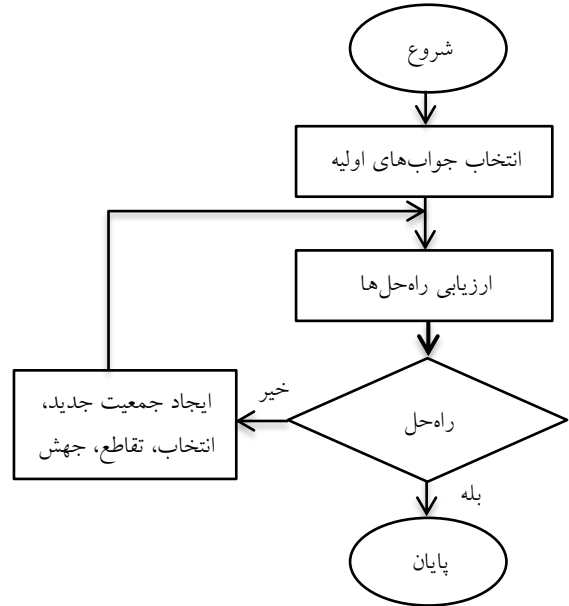
۲-۲. تحلیل مؤلفه‌های اصلی

از عوامل مهم در دقت و کارایی طبقه‌بندی‌کننده‌ها، کاهش ابعاد فضای ویژگی است. کاهش هزینه محاسباتی و دقت طبقه‌بندی، دو دلیل عمده کاهش بُعد فضای ویژگی است. یکی از روش‌های معمول کاهش بُعد فضای داده‌ها و استخراج ویژگی، روش تحلیل مؤلفه‌های اصلی (PCA) است. این روش به دنبال یک بازنمایی از داده‌ها برحسب کوچک‌ترین متوسط مربعات خطا بین داده‌های بازنمایی شده و اصلی است. لذا تحلیل مؤلفه‌های اصلی کاری به استخراج ویژگی‌های بیهینه به منظور طبقه‌بندی ندارد؛ به عبارتی، این روش به منظور استخراج ویژگی و کاهش بُعد، تنها به داده‌های ورودی توجه می‌کند و کلاس داده‌ها را در نظر نمی‌گیرد. تحلیل مؤلفه اصلی یک روش ساده برای کاهش ابعاد است. به‌طور کلی، کاربرد عمده روش تحلیل اجزای اساسی عبارت است از کاهش تعداد متغیرها و یافتن ساختار ارتباطی بین متغیرها که در حقیقت همان دسته‌بندی متغیرهاست. شکل (۳) نمودار پراکنش نقاطی را روی دو محور مختصات X_1 و X_2 نشان می‌دهد [۵]. برای تعیین جهت عمومی نقاط، یک بیضی رسم می‌شود تا همبستگی بین متغیرها مشخص شود. برخی از نقاط خارج از بیضی و البته تجمع تعداد زیادی از آن‌ها روی قطر اصلی بیضی مشاهده می‌شود. جهت اصلی پراکنش نقاط نه در امتداد X_1 و نه در امتداد X_2 است بلکه بین آن‌ها و بیشتر در امتداد قطر اصلی بیضی می‌باشد. این محور PC_1 نامیده می‌شود که اولین جزء اصلی تغییرپذیری X_1 و X_2 است. دومین جزء (PC_2) در امتداد قطر فرعی بیضی است که دقیقاً بر PC_1 عمود بوده و باقی تغییرات در X_1 و X_2 را شرح می‌دهد PC_1 و PC_2 دو محور جدید برای شرح X_1 و X_2 می‌باشند [۵ و ۶].

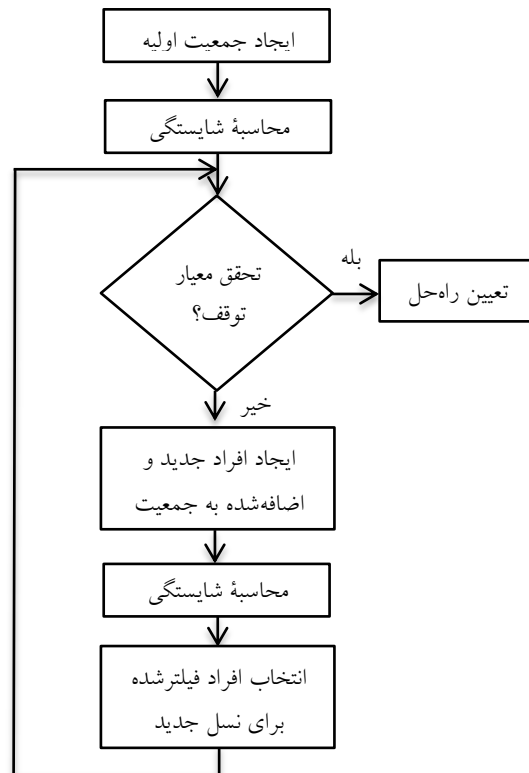
۲-۳. گرادیان هیستوگرام جهت‌دار

گرادیان هیستوگرام جهت‌دار (HOG) یک توصیفگر ویژگی است که برای تشخیص نقاط متحرک در پردازش تصویر و بینایی ماشین استفاده می‌شود. این توصیفگر، توزیع گرادیان‌های محلی یا جهت‌های لبه است که می‌توانند به‌خوبی

طبق روش ایجاد یک جمعیت جدید، GA از سایر عملگرها، به‌خصوص عملگر انتخاب استفاده کرده و همچنین موقعیت محاسبه برازش هر فرد را نیز مدنظر قرار می‌دهد [۳ و ۴].



شکل (۱): روال کلی الگوریتم ژنتیک [۳]



شکل (۲): توصیف یک الگوریتم ژنتیک با تعمیم جمعیت فعلی [۳]

برخلاف الگوریتم SIFT ویژگی‌های عمومی تصویر را استخراج می‌کند. تصویری که به عنوان ورودی به این الگوریتم داده می‌شود با استفاده از انتگرال تصویر و فرمول‌های KAZE طبق روابط (۱) و (۲) بهبود داده می‌شود [۹].

$$g_1 = \exp\left(-\frac{|\nabla L_\sigma|^2}{k^2}\right), \quad g_2 = \frac{1}{1 + \frac{|\nabla L_\sigma|^2}{k^2}} \quad (1)$$

$$g_3 = \begin{cases} 1, & |\nabla L_\sigma|^2 = 0 \\ 1 - \exp\left(-\frac{3.315}{(|\nabla L_\sigma|/k)^8}\right), & |\nabla L_\sigma|^2 > 0 \end{cases} \quad (2)$$

g_1 : حاشیه‌های با کنتراست بالا، ∇L_σ : گرادیان تصویر است.
 k : فاکتور کنتراست که سطح انتشار را کنترل می‌کند.
 g_2 : مناطق گسترده تصویر را در مناطق کوچک‌تر افزایش می‌دهد.
 g_3 : مناطق مات‌شده تصویر است.

۲-۶. گشتاور Zernike

یک روش تشخیص جعل کپی- انتقال استفاده از گشتاور Zernike است، که مکان نواحی تکراری را مشخص می‌کند. گشتاور Zernike مجموعه‌ای از چندجمله‌ای‌های مختلط را ارائه می‌کند که مجموعه متعامد کاملی داخل دایره واحد تشکیل می‌دهند؛ دایره واحد همان مجموعه $x^2 + y^2 = 1$ است. ساختار این چندجمله‌ای‌ها به صورت رابطه (۳) است.

$$V_{nm}(x, y) = V_{nm}(\rho, \theta) = R_{nm}(\rho) \exp(jm\theta) \quad (3)$$

n : صفر یا عدد صحیح مثبت؛ m : عدد صحیح مثبت یا منفی
 با این شرط $n \geq |m|$ ؛ p : طول بردار مبدأ تا نقطه (x, y) ،
 θ : زاویه بین بردار و محور x در جهت پادساعت‌گرد،
 $R_{nm}(\rho)$: یا همان چندجمله‌ای‌های شعاعی نیز این‌گونه تعریف می‌شود:

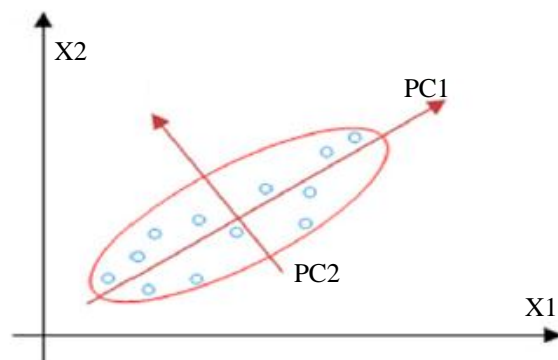
$$(4)$$

$$R_{nm}(\rho) = \sum_{x=0}^{n-|m|/2} (-1)^x \frac{(n-s)!}{s! \left(\frac{n+|m|}{2} - s\right)! \left(\frac{n-|m|}{2} - s\right)!} \rho^{n-2x}$$

که برای این چندجمله‌ای‌ها می‌توان نوشت:

$$R_{n-m}(\rho) = R_{nm}(\rho) \quad (5)$$

تصویر را توصیف کنند. این ویژگی، جهت گرادیان تصویر را در همسایگی محلی نشان می‌دهد. فاصله بین ۰ تا ۱۸۰ درجه یا ۰ تا ۳۶۰ درجه به n قسمت مساوی تقسیم می‌شود. n تعداد جهت‌های گرادیان است. با حرکت فیلترهای گوسی [۱، ۰، -۱] یا ترانواده آن بر تصویر مانند مشتق‌گیری جهت‌دار گرادیان تصویر محاسبه شده و تحت زوایای ۲۰ درجه، ۲۰ درجه مشتق‌گیری انجام می‌شود. سپس لبه‌های جهت‌دار به دست می‌آیند [۷].



شکل (۳): انتقال داده‌ها به مؤلفه اساسی [۵]

۲-۴. توصیفگر SIFT

الگوریتم SIFT یک الگوریتم توصیف‌کننده ویژگی است. هرگاه تصویری به این الگوریتم داده می‌شود، این الگوریتم نقاط کلیدی تصویر را استخراج می‌کند. در مرحله بعد برای هرکدام از نقاط کلیدی استخراج‌شده، یک شناسنامه ساخته می‌شود. الگوریتم SIFT استخراج ویژگی محلی انجام می‌دهد و جزئیات تصویرها را بررسی می‌کند. چالشی که وجود دارد این است که این الگوریتم‌ها باید در برابر چرخش، نور، نویز، تغییرات روشنایی و مقیاس مقاوم باشند؛ اما SIFT نسبت به تغییرات روشنایی به صورت جزئی مقاوم است [۸].

۲-۵. توصیفگر KAZE

کلمه KAZE یک کلمه ژاپنی به معنی باد است. در طبیعت باد به عنوان جریان هوا در مقیاس بزرگ تعریف شده است؛ به طور معمول این جریان به وسیله فرایندهای غیرخطی اداره می‌شود. این الگوریتم به وسیله Perona پیشنهاد شده است؛ که

به دست آوردن نقاط حساس و مهم در تصویر دارند. در [۲] برای نشان دادن بلوک‌های تصویر از ضرایب تبدیل کسینوسی گسسته^۱ استفاده شده است. سپس یک روش بهبود یافته بر اساس DCT برای تشخیص جعل کپی-انتقال پیشنهاد شده است. با توجه به الگوبرداری ارائه شده، اگرچه روش‌های مبتنی بر بلوک می‌تواند جعل کپی-انتقال را در بسیاری از موارد مانند اضافه کردن نویز و فشرده‌سازی JPEG^۲ تشخیص دهد، وقتی تصاویر به اندازه بزرگ تغییر می‌یابند با خطا مواجه می‌شوند [۱۴]. در [۱۵] با آنالیز اجزای مؤلفه اصلی در بلوک‌های تصاویر، ابعاد تصاویر کاهش پیدا کرد. هفت ویژگی بر مبنای میانگین شدت پیکسل در هر کانال RGB و برخی از اطلاعات جهت‌دار هر بلوک استخراج شد [۱۶]. در [۱۳] ۲۴ نقطه محوشده محاسبه شد و یک بخش از ویژگی‌های هر بلوک را تولید کرد. پژوهشگران در [۱۶] تبدیل موجک گسسته و تحلیل اجزای اصلی را برای استخراج ویژگی ترکیب کرده‌اند. آن‌ها ابتدا تبدیل موجک گسسته را روی تصویر اعمال کرده، سپس ابعاد هر بلوک را با تحلیل اجزای اصلی کاهش داده‌اند.

علاوه بر این تقریباً تمام این روش‌ها در تعداد زیادی از بلوک‌ها و بردارهای ویژگی استخراج شده از آن‌ها توده‌ای هستند که منجر به پیچیدگی محاسباتی بالا می‌شوند. در [۱۳] از تبدیل فوریه ملین^۳ برای به دست آوردن ویژگی‌های بلوک استفاده شد. در [۱۴] پیشنهاد شد که تصویر به چهار زیرشاخه^۴ با استفاده از تبدیل موجک دیجیتال^۵ تجزیه شود و سپس مقدار انحصاری^۶ در این بلوک‌ها اعمال می‌گردد. ضریب همبستگی فوریه به عنوان اندازه‌گیری شباهت بین بلوک در شکل ورودی قطبی^۷ به دست آورده شد. سپس آن‌ها زمانی که مقدار آن کمتر از یک حد آستانه است بلوک را حذف می‌کنند [۲]. در [۱۳] ویژگی‌هایی از بلوک‌های دایره‌ای با استفاده از چرخش یکنواخت ثابت الگوهای

$$\iint_{x^2+y^2 \leq 1} [V_{nm}(x,y) * V_{pg}(x,y)] dx dy = \frac{\pi}{n+1} \delta_{np} \delta_{mg} \quad (6)$$

$$\rho_{ab} = \begin{cases} 1 & a = b \\ 0 & \end{cases}$$

ممان Zernike نگاشت توابع تصویر بر روی این چندجمله‌ای‌هاست. گشتاور Zernike از مرتبه n با تکرار m برای تصویر پیوسته تابع f(x,y) که قسمت بیرونی دایره واحد را محو می‌کند، به صورت زیر است:

$$A_{nm} = \frac{n+1}{\pi} \iint_{x^2+y^2 \leq 1} f(x,y) V_{nm}(\rho, \theta) dx dy \quad (7)$$

برای تصویر دیجیتالی، انتگرال‌ها توسط مجموع برای به دست آوردن معادله زیر جایگزین می‌شوند:

$$A_{nm} = \frac{n+1}{\pi} \sum_x \sum_y f(x,y) V_{nm}(\rho, \theta) \quad x^2+y^2 \leq 1 \quad (8)$$

در محاسبه Zernike مرکز تصویر در مرکز دایره قرار می‌گیرد و بقیه تصویر به داخل دایره نگاشت می‌شود و آن‌هایی که بیرون دایره می‌افتد، در محاسبه وارد نمی‌شوند. همچنین توجه شود که $A_{nm}^* = A_{n-m}$ است.

محققان گشتاور Zernike را به عنوان روشی برای استخراج مشخصه‌ها از زیربلوک‌های همپوشانی در تصویر پیشنهاد دادند. این بردارهای مشخصه بر اساس حروف الفبا مرتب می‌شوند و شباهت‌های بین دو بلوک مجاور با استفاده از فاصله اقلیدسی و یک آستانه برای پیدا کردن نشانه‌ای از جعل کپی-انتقال محاسبه می‌شود، صحت و کامل بودن و مقیاس F1 روی نواحی مشکوک اعمال می‌شود تا جعل کپی-انتقال را تأیید کند [۱۰-۱۲].

۲-۷. پیشینه تحقیق

روش‌های زیادی برای تشخیص جعل‌های کپی-انتقال وجود دارد ولی مسئله بسیار مهم این است که آیا این روش‌ها در برابر عملیات‌هایی مثل چرخش، تغییر جهت، نویز و... مقاوم هستند یا خیر؟ در سال‌های اخیر، روش‌های متعددی برای تشخیص جعل کپی-انتقال ارائه شده است، بسیاری از آن‌ها را می‌توان به طور سستی به دو روش مبتنی بر بلوک و روش مبتنی بر نقاط کلیدی طبقه‌بندی کرد [۱۳]. در روش‌های مبتنی بر بلوک تصویر به بلوک‌هایی تقسیم می‌شود و ویژگی‌ها از این بلوک‌ها استخراج می‌گردد ولی روش‌های مبتنی بر نقاط کلیدی سعی در

1. Discrete Cosine Transform (DCT)
2. Joint Photographic Experts Group (JPEG)
3. Fourier-Mellin Transform (FMT)
4. Sub-band
5. Discrete Wavelet Transform (DWT)
6. Singular Value Decomposition (SVD)
7. Log-polar

همبستگی انتخاب شدند. الگوریتم SIFT به تبدیلات هندسی حساس نیست و عملکرد ضعیفی برای تشخیص جعل‌های نواحی کوچک دارد و نواحی جعل شده مکان‌یابی نمی‌شوند و دقت به دست آمده برابر ۹۰٪ است [۱۹]. در [۱۰] پژوهشگران از الگوریتم SIFT برای شناسایی نقاط جعل استفاده کردند که این روش به تبدیلات و اعوجاج روشنایی بدلیل استفاده از SIFT حساس نیست. دقت به دست آمده برابر ۷۳/۳۶٪ است. در [۲۰] از الگوریتم SIFT برای استخراج مشخصه‌ها و از تکنیک تطبیق برای تطبیق مشخصه و از الگوریتم خوشه‌بندی نیز برای تشخیص و مکان‌یابی نواحی جعل شده استفاده شده است. سپس یک روش مبتنی بر خوشه‌بندی نقطه‌های همگرا پیشنهاد شد. [۲] بعدها روش خود را با معرفی یک فاز جدید خوشه‌بندی قوی بر اساس الگوریتم Toldo و Fusiello بهبود بخشید. در [۱۰ و ۲۱] ممان‌های Zernike از بلوک‌ها به‌عنوان ویژگی استخراج گردید. ممان‌های Zernike به دلیل جبری بودن در برابر چرخش مقاوم هستند و به همین دلیل برای موقعیت‌هایی که علاوه بر انتقال، چرخش نیز انجام شده باشد، مناسب‌اند. در [۱۶] نیز این ممان به‌عنوان ویژگی از هر بلوک استخراج شد. در [۲۲] یک روش تشخیص جعل کپی- انتقال پیشنهاد شد که در آن نقطه SURF استخراج شده و با الگوریتم درختی k-d همخوانی دارد. برای روش‌های تشخیص جعل کپی- انتقال از نقاط گوشه هریس و بخش آمار در تصاویر دیجیتال استفاده شد. روش‌های متعددی برای تبدیل ویژگی‌های مقیاس‌پذیر به تصاویر میزبان برای استخراج نقاط ویژگی استفاده می‌شود. برای مثال، ویژگی‌های SIFT برای تعیین منطقه کپی شده از طریق استفاده از نقشه‌های همبستگی انتخاب شدند. استخراج ویژگی در بیشتر روش‌های مبتنی بر نقاط کلیدی بر مبنای الگوریتم SIFT انجام می‌شود. روش تشخیص مبتنی بر نقاط کلیدی، به دلیل نداشتن نقاط همسان کافی ممکن است رد شود، یک روش تشخیص جعل کپی- انتقال بر اساس ویژگی‌های ترکیبی پیشنهاد شده است. یک تشخیص‌دهنده نقطه‌ای KAZE در ترکیب با SIFT برای استخراج نقاط ویژگی بیشتر به کار رفته است. ایده اصلی این روش تشخیص جعل کپی- انتقال مبتنی بر بلوک است که به تقسیم

دودویی محلی^۱ را استخراج کردند. همچنین تغییرات هارمونیک قطبی^۲ به تصویب رسانده شد که محتویات بلوک‌های دایره‌ای را توصیف می‌کند. در [۱۰] گشتاور Zernike^۳ به‌عنوان ویژگی بلوک برای تشخیص مناطق تکراری مورد استفاده قرار داده شد. الگوریتم Patch Match و اصلاح آن برای مقابله با عملیات چرخش مورد بررسی قرار گرفت [۱۷]. با توجه به معیارهای پیشنهاد شده در [۲] اگر چه روش‌های مبتنی بر بلوک می‌توانند جعل کپی- انتقال را در اکثر موارد مانند فشرده‌سازی JPEG آشکار کنند، هنگامی که در مناطق تکرار به‌اندازه بزرگ تغییر اندازه و چرخش پیدا می‌کنند از بین می‌روند. علاوه بر این، تقریباً تمام این روش‌ها در تعداد زیادی از بلوک‌ها و بردارهای ویژگی استخراج شده از بلوک‌ها توده‌ای هستند که منجر به پیچیدگی محاسباتی بالا می‌شوند. به‌عنوان جایگزینی برای روش‌های مبتنی بر بلوک، روش تشخیص جعل کپی- انتقال مبتنی بر نقاط کلیدی پیشنهاد شده است. در این روش برخلاف روش مبتنی بر بلوک، ویژگی‌های خوب تصویر، شناسایی و انتخاب شدند.

در مقایسه با روش مبتنی بر بلوک، روش‌های مبتنی بر نقاط کلیدی در برابر تحولات هندسی از جمله تغییر اندازه در مقیاس بزرگ قوی‌ترند. علاوه بر این، هزینه محاسبات به دست آمده پایین‌تر است؛ چون تعداد نقاط به‌طور چشمگیری کمتر است. با این حال، در چنین روشی با اینکه ممکن است نقاط کلیدی به اندازه کافی برای تجزیه و تحلیل وجود داشته باشد، مشکلاتی در محل بخش همگن به وجود خواهد آمد. روش‌های متعددی برای تبدیل ویژگی‌های مقیاس‌پذیر به تصاویر میزبان برای استخراج نقاط ویژگی استفاده شده است. برای مثال از الگوریتم SIFT برای تشخیص جعل استفاده می‌شود که در برابر مقیاس‌پذیری و تبدیلات چرخش مقاوم است و دقت به دست آمده برابر ۹۲/۵٪ است [۱۸]. در [۲] ویژگی‌های SIFT برای تعیین منطقه کپی شده از طریق استفاده از نقشه‌های

1. Local binary pattern (LBP)
2. Polar Harmonic
3. Zernike moment

دارای مزایای استخراج سریع و ویژگی استحکام‌اند که در این روش مورد استفاده قرار گرفته و برای پیدا کردن بخش‌های جعل شده در تصویر استفاده شده‌اند. در [۲۵] ویژگی‌های SIFT، SURF و HOG و ویژگی‌های ترکیبی (SURF+HOG) یا (SIFT+HOG) برای تشخیص جعل کپی-انتقال مقایسه شد و نتیجه نشان داد که SIFT بهترین نتیجه را در تشخیص دقت می‌دهد. پس از بررسی ویژگی‌های ترکیبی (SURF+HOG) یا (SIFT+HOG) نتیجه بهتری برای تشخیص جعل در مقایسه با وقتی که ویژگی‌های SIFT، SURF یا HOG تنها استفاده می‌شوند به دست آمد.

نتیجه این پژوهش نشان داد که طرح پیشنهادی می‌تواند مناطق جعلی را در تصاویر مختل شده، حتی در شرایطی که منطقه آسیب دیده یا تصویر مخدوش می‌شود، تشخیص دهد. در زمینه تشخیص جعل کپی-انتقال کارهای زیادی انجام گرفته که برخی از آن‌ها در جدول (۱) نیز نشان داده شده است.

تصویر ورودی با بلوک‌های همپوشان ثابت پرداخته و پس از آن جفت بلوک‌های مشابه را پیدا می‌کند. با استفاده از ترکیب دو ویژگی SIFT و KAZE ویژگی‌های نقاط بیشتری استخراج کردند. نتایج تجربی نشان می‌دهد که روش ارائه شده دقیقاً می‌تواند حتی پس از تحریف مانند چرخش، مقیاس‌پذیری، فشرده‌سازی JPEG و اضافه کردن نویز، مناطق تکراری را تشخیص دهد [۲].

در [۲۳] روش مبتنی بر بلوک و مبتنی بر نقاط کلیدی با یکدیگر ادغام شده است. ابتدا تصویر اصلی به بلوک تقسیم شده و نقاط کلیدی از هر بلوک تصویر استخراج می‌شوند. تعداد نقاط کلیدی مشابه مشخص شده از یک جفت بلوک، از یک آستانه از پیش تعیین شده فراتر رفته و سپس آن جفت بلوک از هم جدا می‌شوند. بلوک‌های همسان به عنوان منطقه جعل در نظر گرفته می‌شوند و خروجی پس از عملیات مورفولوژی نمایش داده می‌شود. در [۲۴] یک روش شناسایی جعل کپی-انتقال مبتنی بر KAZE و SURF ارائه شده است. ویژگی‌های KAZE و SURF

جدول (۱): روش‌های مکان‌یابی و تشخیص جعل کپی-انتقال

ردیف	منابع	روش‌شناسی و دادگان	محدودیت‌ها	کارایی
۱	[۲]	از الگوریتم SIFT و الگوریتم KAZE برای استخراج مشخصه استفاده شد. دادگان: ۴۸ تصویر پایه و ۴۸ تصویر جعل شده	دقت تشخیص الگوریتم SIFT، ۸۳/۲۶٪ و دقت تشخیص الگوریتم KAZE، ۸۳/۴۵٪ برآورد شد.	هر دو الگوریتم به تنهایی کل ویژگی‌های یک تصویر را بیرون نمی‌کشند. بنابراین با ترکیب SIFT+KAZE درصد تشخیص ۹۲٪/۲۷ به دست آمد.
۲	[۸]	از الگوریتم SIFT برای تشخیص جعل استفاده می‌شود. دادگان: MICC-F2000-MICC-F220	به تبدیلات هندسی حساس نیست. دقت: ۹۰٪	عملکرد ضعیفی برای تشخیص جعل‌های نواحی کوچک دارد و نواحی جعل شده مکان‌یابی نمی‌شوند.
۳	[۲۵]	ویژگی‌های ترکیبی (SURF+HOG یا SIFT+HOG) برای تشخیص جعل کپی-انتقال مقایسه شد.	نتیجه نشان داد که SIFT بهترین نتیجه را در دقت می‌دهد. دقت: ۹۸/۲۰٪	اما با ترکیب SIFT+HOG، دقت تشخیص بیشتری به دست آمد. دقت: ۹۸/۲۱٪
۴	[۲۶]	مشخصه‌های زرنیک و معیارهای کیفیت تصویر از تصویر ورودی استخراج شدند. از شبکه عصبی مصنوعی برای دسته‌بندی استفاده شده است. دادگان: DVMM	پیچیدگی زمانی بالاست.	دقت: ۶۳۹/۹٪
۵	[۲۷]	از الگوریتم SIFT برای شناسایی جعل استفاده می‌شود. دادگان: توسط خود محققان ساخته شده است.	به تبدیلات و اعوجاج روشنایی به دلیل استفاده از SIFT حساس نیست. دقت: ۷۳/۳۶٪	برای شناسایی نواحی تکثیرشده عملکرد ضعیفی دارد.

ردیف	منابع	روش شناسی و دادگان	محدودیت‌ها	کارایی
۶	[۲۸]	از الگوریتم SIFT برای استخراج مشخصه‌ها استفاده می‌شود و از تکنیک تطبیق برای تطبیق مشخصه استفاده می‌شود و از الگوریتم خوشه‌بندی برای تشخیص و مکان‌یابی نواحی جعل شده استفاده می‌شود. دادگان: F2000- MICC-F600 & MICC	روش خوشه‌بندی در برابر تبدیلات هندسی و جعل کپی- انتقال مقاوم است و نواحی جعل شده مکان‌یابی نمی‌شوند. دقت: ۹۲٪	نواحی جعل شده مکان‌یابی نمی‌شوند.
۷	[۲۹]	الگوریتم SIFT برای تشخیص جعل استفاده می‌شود. دادگان: UCID	دقت: ۹۲/۵٪	در برابر مقیاس‌پذیری و تبدیلات چرخش مقاوم نیست.
۸	[۳۰]	از الگوریتم بهبودیافته بلوک برای تشخیص جعل استفاده می‌شود. دادگان: ۲۰۰ تصویر	این شیوه در برابر فشرده‌سازی JPEG و تاری گاوسی مقاوم است و همچنین در مکان‌یابی شکل و سایز جعل تصویر مؤثر است. دقت: ۷۳٪	در برابر تبدیلات هندسی مقاوم نیست.
۹	[۳۱]	تصویر ورودی به فضای رنگ YCBCR تبدیل می‌شود و توصیفگر WLD با چند درجه تفکیک برای استخراج مشخصه اعمال می‌شود. از SVM برای دسته بندی استفاده می‌شود. دادگان: TIDE V1.0-CASIA	دقت: ۹۳/۳۳٪	نواحی جعل شده مکان‌یابی نمی‌شوند.
۱۰	[۳۲]	تصویر ورودی به فضای رنگ YCBCR تبدیل می‌شود و مشخصه‌های محلی و عمومی از کانال‌های رنگ تابی و روشنایی با استفاده از گشتاور زرنیک استخراج می‌شوند. ماتریس هش از مشخصه‌های استخراج شده محلی و عمومی تشکیل می‌شود. مقدار هش تصویر تست شده و مقدار هش تصویر صحیح مقایسه می‌شود تا جعل را تشخیص دهد. دادگان: ۱۰۰۰ تصویر واقعی و ۱۰۰۰ تصویر جعل شده	در برابر فشرده‌سازی JPEG و چرخش با زاویه کم و مقیاس‌پذیری کم مقاوم است.	در برابر تبدیلات هندسی مثل چرخش و مقیاس‌پذیری مقاوم نیست.
۱۱	[۳۳]	مشخصه‌ها با استفاده از تبدیل فوری هر بلوک از تصویر استخراج می‌شوند جعل توسط اعمال الگوریتم تطبیق بلوک مبتنی بر آستانه تشخیص داده می‌شود.	در برابر فشرده‌سازی JPEG و تار ی حساس نیست و اندازه بردارهای مشخصه خیلی کوچک است. دقت: ۸۶/۵۷٪	به تبدیلات هندسی حساس است در برابر چرخش با زاویه کلی و مقیاس‌پذیری مقاوم نیست.
۱۲	[۳۴]	یک مدل بازگشت خودکار با استفاده از فیلتر میانگین از تصویر ورودی طراحی می‌شود که بعد عامل‌های آن برای دسته‌بندی در SVM قرار می‌گیرند. دادگان: ۶۶۹۰ تصویر واقعی و جعلی	دقت: ۹۸٪	فرایند انتخاب مشخصه دستی انجام می‌شود.
۱۳	[۳۵]	از تبدیل موجک برای استخراج ویژگی‌های با اندازه ۴۵۰ استفاده می‌شود که نمایانگر تکه‌های ycrb در داخل تصویر است. سپس از یک شبکه عصبی برای طبقه‌بندی تکه‌های جعلی استفاده می‌شود.	این ایده با از بین بردن ویژگی‌های روشنایی بیان شده است. دقت تشخیص: ۹۷/۱۱٪	

۳. روش پیشنهادی

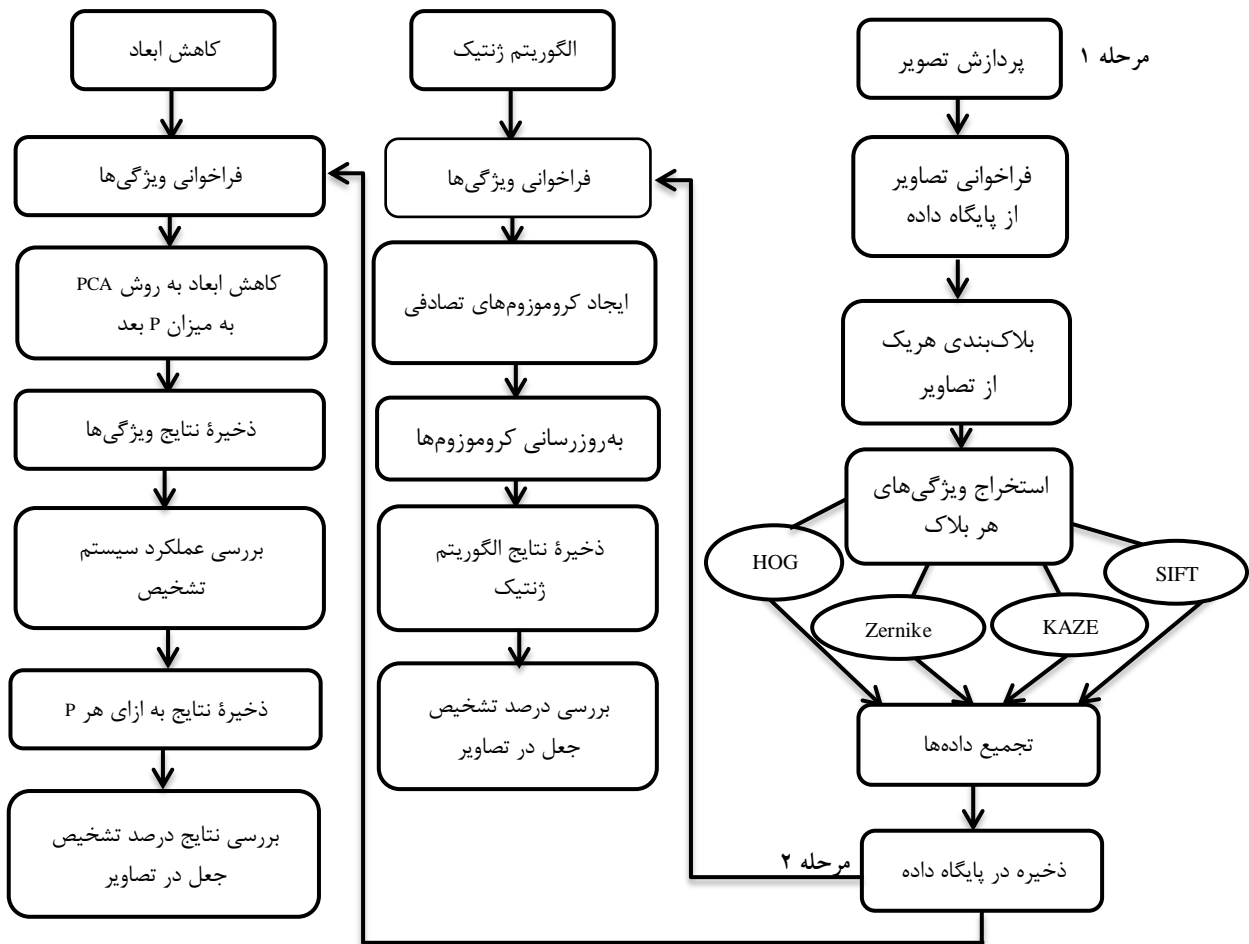
در روش پیشنهادی در این پژوهش، تصویر به بلوک‌هایی تقسیم می‌شود، هر کدام از این بلوک‌ها اطلاعات قسمتی از تصویر را در اختیار دارد و باید ویژگی‌های کلی آن استخراج شود. توصیفگرهای SIFT، HOG، KAZE و Zernike از هر بلوک استخراج می‌شود. هر توصیفگر روابط خاص خود را دارد و نوع خاصی از تصویر را توصیف می‌کند. HOG تصویر را بر اساس گرادیان، SIFT و KAZE بر اساس مشتق‌های محلی و زرنیک به صورت دایره‌وار توصیف می‌کند. ترکیب بردارهای این توصیفگرها سبب افزایش عملکرد سیستم تشخیص جعل می‌شود؛ اما همه ویژگی‌های استخراج شده در سیستم تشخیص جعل مشارکت نمی‌کنند و ترکیب بردارهای توصیفگرها موجب افزایش حجم محاسبات می‌شود، لذا به منظور کاهش حجم محاسبات می‌توان از الگوریتم‌های انتخاب ویژگی مانند الگوریتم ژنتیک، به انتخاب ابعاد مناسب بردارهای ویژگی استخراج شده از توصیفگرها پرداخت. از سوی دیگر، حجم اشغال شده نیز یکی از چالش‌های این گونه سیستم‌هاست. بنابراین در این پژوهش از الگوریتم‌های کاهش ابعاد برای حل این چالش استفاده شده است. همان طور که ذکر شد، از الگوریتم ژنتیک پس از انتخاب ویژگی استفاده خواهد شد. این الگوریتم با ایجاد جمعیت اولیه تصادفی در پی ایجاد جواب‌های تصادفی برای مسئله انتخاب ویژگی است. این جمعیت از کروموزوم‌ها تشکیل شده است. تعداد این کروموزوم‌ها در این پژوهش برای هر نسل ۱۰۰ عدد در نظر گرفته شد. هر کروموزوم از ژن‌هایی تشکیل می‌شود، هر ژن از کروموزوم‌ها در الگوریتم ژنتیک یک ویژگی است. این ژن‌ها احتمال انتخاب ویژگی نظیر خود در جدول ویژگی‌ها را نشان می‌دهد. یک حد آستانه برای این احتمالات تعیین شده است که برابر عدد ۰/۵ می‌باشد. هر کدام از ژن‌ها که احتمال انتخابشان بیشتر از حد آستانه باشد انتخاب می‌شود. پس از انتخاب ویژگی‌ها، مرحله بررسی تصاویر آغاز می‌شود. در این مرحله با توجه به ویژگی‌های انتخاب شده بلوک‌ها مقایسات رخ می‌دهد. پس از بررسی کل بلوک‌ها و تشخیص نقاط جعل،

به بررسی عملکرد کلی سیستم پرداخته می‌شود. در این مقاله به دنبال کاهش میزان حجم محاسبات و خطای تشخیص هستیم. هر چه تعداد ویژگی‌ها کاهش یابد، میزان حجم فضای اشغالی و میزان محاسبات کاهش می‌یابد. از طرفی کاهش خطای تشخیص نقاط جعل را نیز می‌بایست در نظر گرفت. بنابراین مجموع دو پارامتر نسبت ویژگی‌ها و خطای تشخیص به‌عنوان تابع هدف تعیین می‌شود. پس از بررسی نهایی، کروموزوم‌های هر نسل بر اساس میزان تابع هدف مرتب می‌شوند. بنابراین آن دسته از جواب‌هایی که مناسب‌ترند در بالای نسل قرار می‌گیرند. برای ایجاد نسل جدید می‌بایست از کروموزوم‌های با جواب مناسب استفاده کرد. در نتیجه در این پژوهش ۴۰ درصد جمعیت نسل گذشته به نسل جدید منتقل می‌شوند. دیگر کروموزوم‌ها نیز از طریق عملگرهای ادغام تک‌نقطه‌ای (۲۰ درصد نسل جدید)، ادغام دونقطه‌ای (۲۰ درصد نسل جدید) و جهش (۲۰ درصد نسل جدید) به‌روز شده و به نسل جدید اضافه می‌شوند. این الگوریتم در طی ۱۰۰ بار تکرار صورت پذیرفته و در پایان آن بهترین کروموزوم انتخاب می‌شود. از طرفی می‌توان با ترکیب ویژگی‌ها، ابعاد را کاهش داد. در نتیجه به جای استفاده از الگوریتم ژنتیک، از الگوریتم تحلیل مؤلفه اصلی استفاده می‌شود. در این بخش، هیچ ویژگی حذف نخواهد شد بلکه ابعاد آن بایکدیگر ترکیب می‌شود. در این بخش، هدف آن است که همه ویژگی‌ها حضور داشته باشند و با کاهش ابعاد آن حجم اشغال شده کاهش یابد. بنابراین این پژوهش، به سه بخش تقسیم می‌شود: بخش اول پردازش تصاویر و استخراج ویژگی‌ها برای تشخیص جعل در تصاویر است. بخش دوم، انتخاب ویژگی‌ها توسط الگوریتم ژنتیک و بخش سوم به کاهش ابعاد داده با استفاده از تحلیل مؤلفه اصلی اختصاص می‌یابد. همان طور که در شکل (۴) مشاهده می‌گردد، در ابتدا تصاویر از پایگاه داده فراخوانی می‌گردد. این تصاویر در محیط شبیه‌سازی متلب به ماتریس‌هایی تبدیل می‌شود. به‌ازای هر کدام از تصاویر پایگاه داده، چهار ویژگی مطرح شده استخراج می‌شود. این ویژگی‌ها در نهایت در پایگاه داده ذخیره می‌گردد تا در مراحل بعدی

ارزیابی کارایی تشخیص جعل کپی- انتقال تصاویر مبتنی بر بلاک‌بندی ۷۱

در مرحله (۳)، روند اجرای کاهش ابعاد با استفاده از الگوریتم تحلیل مؤلفه اصلی نشان داده شده است. همانند استفاده از الگوریتم ژنتیک، ویژگی‌های استخراج‌شده تصاویر از پایگاه داده فراخوانی می‌شوند. تعداد ابعاد کاهش (P) مشخص شده و ابعاد ویژگی‌ها ترکیب شده و کاهش می‌یابد. در نتیجه در پایان این بخش با کاهش ابعاد ویژگی‌ها به بررسی میزان تشخیص نقاط جعل در تصاویر پرداخته شده است. برای بررسی عملکرد، پس از بررسی نقاط تصویر توسط الگوریتم‌های مطرح‌شده، نتایج آن با نتایج ارائه‌شده در پایگاه داده مقایسه می‌شود.

پژوهش بتوان از آن استفاده کرد. در مرحله (۲)، ویژگی‌های تصاویر که از مرحله قبل استخراج شده و در پایگاه داده ذخیره شده‌اند فراخوانی می‌شود. الگوریتم ژنتیک در ابتدای اجرای خود یک جمعیت با کروموزوم‌های تصادفی ایجاد می‌کند، سپس در طی یک روند اجرایی این نسل‌ها به‌روز شده و کروموزوم‌ها به جواب بهینه همگرا می‌شوند. در نتیجه در پایان اجرای این الگوریتم ویژگی‌هایی که سبب کاهش حجم محاسبات و کاهش خطا می‌گردد انتخاب می‌شود. عملگرهای انتخاب‌شده در این پژوهش برای به‌روزرسانی کروموزوم‌ها عملگرهای ادغام تک‌نقطه‌ای و دونقطه‌ای و عملگر جهش انتخاب شده است.



شکل (۴): اعمال الگوریتم‌های ژنتیک و تحلیل مؤلفه اصلی برای بهینه‌سازی و کاهش ابعاد به‌طور موازی

۴. پیاده‌سازی و ارزیابی

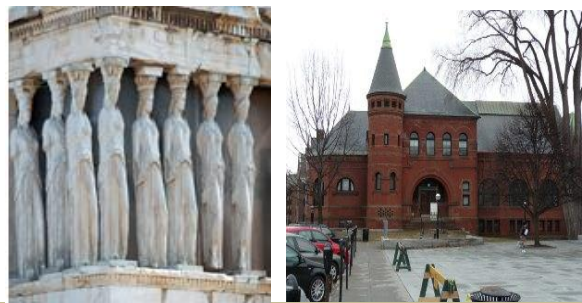
در این قسمت نتایج حاصل از پیاده‌سازی روش پیشنهادی روی تصاویر پایگاه داده مقاله [۱۳] که در سایت <http://www5.cs.fau.de/research/data> ارائه می‌شود.

۴-۱. محیط پیاده‌سازی

شبیه‌سازی انجام‌شده در این بخش در تمامی کدها در نرم‌افزار مهندسی متلب نوشته و اجرا شده است. نتایج هر بخش از خروجی توابع استخراج و مورد بررسی قرار گرفته است. مراحل سه بخش استخراج ویژگی، الگوریتم ژنتیک و تحلیل مؤلفه اصلی در این بخش توضیح و نتایج آن نشان داده شده است. این شبیه‌سازی در یک سیستم با مشخصات Intel(R), Core(TM) i7-4702MQ، 2.20GHz و میزان RAM 16 گیگابایتی و ویندوز ۸ اجرا گرفته شده است.

۴-۲. داده‌های استفاده‌شده و معیار ارزیابی

مجموعه داده‌های استفاده‌شده شامل ۹۶ تصویر است؛ که ۴۸ تصویر مکان جعل را اعلام کرده و ۴۸ تصویر پایه و تصاویر تغییر یافته آن مانند چرخش، تغییر اندازه، فشرده‌سازی JPEG به همراه نویز است. اندازه متوسط تصاویر این پایگاه داده حدود 2300×2300 پیکسل و حجم دستکاری‌شده در حدود ۱۰٪ از هر تصویر است. نمونه‌ای از تصاویر در شکل (۵) ارائه شده است.



شکل (۵): دو نمونه از تصاویر دستکاری‌شده در پایگاه داده [۱۳]

۴-۳. استخراج ویژگی‌های تصاویر

همان‌طور که بیان شد، چهار ویژگی KAZE، SIFT، Zernike و HOG از هر بلوک تصویر استخراج می‌شود. در ابتدا تصاویر از پایگاه داده فراخوانی می‌گردد. در این بخش دو تصویر در پایگاه داده موجود است: یک تصویر اصلی و یک تصویر جعل شده که در شکل (۶) نشان داده شده است.



شکل (۶): نمونه تصویر پایگاه داده (الف) اصلی، (ب) جعل شده (بخشی از بنای تصویر جعل و در سمت دیگر اضافه شده است)

برای مقایسه نتایج محاسبه‌شده با تصاویر اصلی، پایگاه داده مکان جعل شده را نیز مانند شکل (۷) در اختیار پژوهشگران قرار می‌دهد. همان‌طور که مشاهده می‌شود، در این تصویر مکان جعل شده در شکل (۶) مشاهده می‌شود.



شکل (۷): مکان جعل شده در تصویر نمونه شکل (۶) (ب)

در شکل (۸) نیز نمونه‌هایی از تصاویر مشخص شده از نقاط جعل نشان داده شده است؛ نقاط سفید به مفهوم نقاط سفید به مفهوم نقاط جعل شده و نقاط مشکی بدون تغییر است. بنابراین برای محاسبه عملکرد ایده پژوهش، نتایج یافت‌شده به این شکل و به صورت نسبت محاسبه شده است. هرچه تعداد نقاط یافت‌شده توسط پژوهش به این تصویر شبیه‌تر باشد، عملکرد بهتری نسبت به دیگر الگوریتم‌ها دارد. در بخش بعدی، هرکدام از تصاویر پس از فراخوانی به بلوک‌هایی تقسیم شده است. این بلوک‌ها به اندازه 0.1 از تصویر انتخاب شده است. اندازه تصویر شکل (۷)، 980 پیکسل در 1306 پیکسل است؛ بنابراین اندازه بلوک‌ها نیز به میزان 98 پیکسل در 130 پیکسل جداسازی شده؛ همچنین نمونه‌هایی از این بلوک‌ها در شکل (۹) نشان داده است. سپس یکی از نمونه‌های شکل (۹) انتخاب شده و ویژگی آن در جدول (۲) ارائه شده است.



(ب)

(الف)

شکل (۸): نمونه ماسک‌های تشخیص مکان‌های جعل در تصاویر (در تصاویر الف، بخشی از تصویر کپی و در همان تصویر اضافه شده است. در تصاویر ب، نواحی جعل شده با نقاط سفید مشخص شده است) [۱۳]

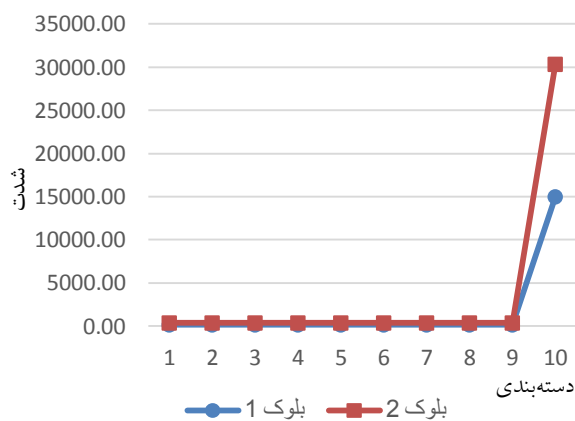
تعداد نقاط مهم در هر دایره شمارش می‌گردد. در این حالت، می‌توان تمرکز نقاط را در دایره مورد بررسی و مقایسه قرار داد.

جدول (۲): ویژگی‌های استخراج از یک بلوک نمونه شکل (۶) (ب)

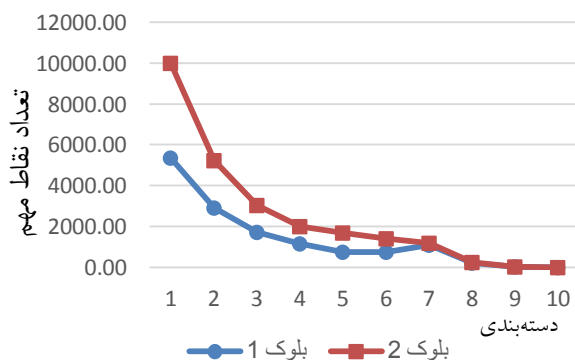
Zernik	HoG	KAZE	Sift
۸۳۹/۴۰	۴۹۸۸/۰۰	۱۸۸/۰۰	۲۴۰۴/۰۰
۰/۵۰	۲۵۲۶/۰۰	۱۸۸/۰۰	۱۱۸۱/۰۰
۰/۱۴۱	۱۳۳۸/۰۰	۱۸۸/۰۰	۶۸۵/۰۰
۰/۰۹	۳۹۵/۰۰	۱۸۸/۰۰	۳۹۹/۰۰
۱/۳۴	۱۳۱۷/۰۰	۱۸۸/۰۰	۱۹۷/۰۰
۰/۸۸	۳۵۳/۰۰	۱۸۸/۰۰	۵۶/۰۰
۲/۱۸	۵۶/۰۰	۱۸۸/۰۰	۱۴/۰۰
۱/۰۰	۱/۰۰	۱۸۸/۰۰	۴۲/۰۰
۱/۱۱	۴/۰۰	۱۸۸/۰۰	۳۹/۰۰
۱/۴۶	۰/۰۰	۱۶۸۹۹/۰۰	۱۸۸/۰۰



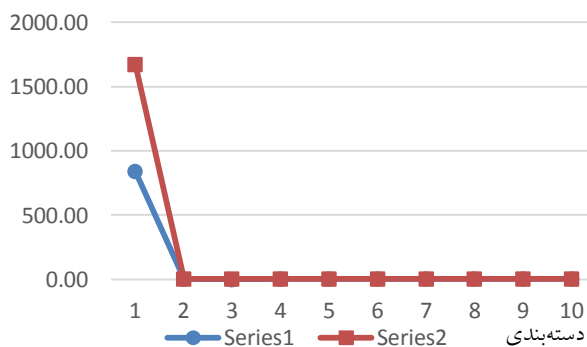
شکل (۹): نمونه‌هایی از بلوک‌های جدا شده از تصویر شکل (۶) (ب) در بخش بعدی پژوهش، یکی از نمونه‌های شکل (۹) انتخاب و ویژگی آن در جدول (۲) ارائه شد. در این جدول، پس از استخراج هر بلوک ویژگی‌های آن استخراج شده است. توسط این روش و رسم دایره‌هایی روی تصویر می‌توان جهت و تمرکز نقاط را روی تصویر مورد مقایسه قرار داد. در این پژوهش، ۱۱ دایره هم‌مرکز روی تصویر رسم شده است و



شکل (۱۱): مقایسه بردارهای KAZE دو بلوک از یک تصویر



شکل (۱۲): مقایسه بردارهای HoG دو بلوک از یک تصویر



شکل (۱۳): مقایسه بردارهای Zernike دو بلوک از یک تصویر

در جدول (۳) نمونه‌ای از بردار انتخاب ویژگی نشان داده شده است. در این جدول، شماره ویژگی‌ها و ارزشی که الگوریتم ژنتیک به آن داده ارائه شده است.

در جدول (۴) بر اساس جدول (۳)، حضور و عدم حضور ویژگی‌ها مشخص می‌شود. ویژگی‌هایی که ارزش آن‌ها بیشتر از عدد ۰/۵ باشد مورد قبول است؛ در غیر این صورت در ادامه از آن ویژگی‌ها استفاده نمی‌شود.

در صورت مقایسه دو بلوک می‌توان به صورت شکل‌های ۱۰، ۱۱، ۱۲ و ۱۳ عمل کرد. در این شکل‌ها مقایسه هرکدام از ویژگی‌ها با فاصله اقلیدسی به دست آمده و میزان فاصله دو بلوک محاسبه شده است. بخش‌هایی از بلوک‌ها که بر هم منطبق شده، نشانه نقاط جعل در تصویر است.

۴-۴. پیاده‌سازی الگوریتم ژنتیک و انتخاب ویژگی‌های مؤثر

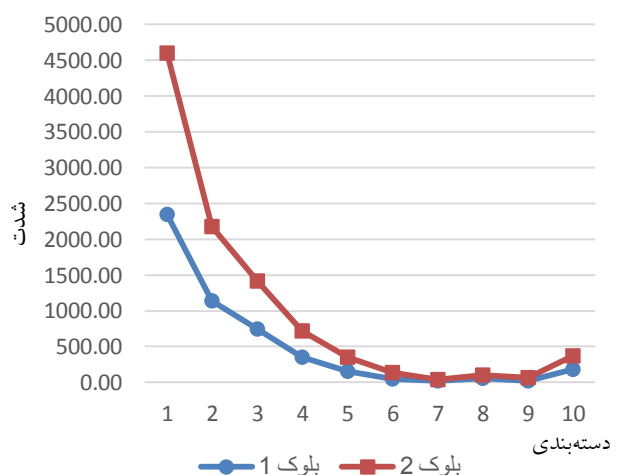
برای بهبود سیستم و افزایش دقت و سرعت از الگوریتم ژنتیک استفاده می‌شود. در الگوریتم ژنتیک ۵۰ کروموزوم در نظر گرفته شده و هر کروموزوم به صورت رابطه (۹) تعریف می‌شود. این الگوریتم با ۱۰۰ بار تکرار داده‌های مناسب را برای تشخیص جنسیت از میان داده‌های ترکیبی انتخاب کرده و از این طریق، حجم داده‌ها کاهش می‌یابد.

رابطه (۹): تابع هزینه = میانگین درصد خطای تشخیص $\times 0.5$ + تعداد ویژگی انتخاب شده $\times 0.5$

شایان ذکر است هر کروموزوم یک راه‌حل کاهش بعد در این پژوهش است؛ هر یک از اعضای این کروموزوم یک عدد بین صفر تا یک در نظر گرفته می‌شود. این اعداد احتمال حضور این کروموزوم را مشخص می‌کنند. اعداد بیشتر از ۰/۵ به عنوان حضور آن و عدد زیر ۰/۵ به عنوان عدم حضور تعیین شده است. ژن انتخاب ویژگی نیز به صورت رابطه (۱۰) نیز به دست می‌آید.

رابطه (۱۰): ژن انتخاب ویژگی

$$Gen = [a1 \ a2 \ a3 \ \dots \ \dots \ \dots \ a40]$$



شکل (۱۰): مقایسه بردارهای Sift دو بلوک از یک تصویر

جدول (۳): نمونه ارزش ژن انتخاب ویژگی

S10	S9	S8	S7	S6	S5	S4	S3	S2	S1	ویژگی
۰/۵۵	۰/۵۳	۰/۳۶	۰/۱۸	۰/۲۰	۰/۶۰	۰/۶۷	۰/۳۴	۰/۵۸	۰/۲۳	ارزش
K10	K9	K8	K7	K6	K5	K4	K3	K2	K1	ویژگی
۰/۴۱	۰/۱۷	۰/۰۸	۰/۱۹	۰/۷۲	۰/۲۸	۰/۶۲	۰/۹۰	۰/۳۴	۰/۲۸	ارزش
H10	H9	H8	H7	H6	H5	H4	H3	H2	H1	ویژگی
۰/۴۳	۰/۷۱	۰/۸۹	۰/۶۷	۰/۰۹	۰/۵۶	۰/۶۴	۰/۲۶	۰/۲۴	۰/۳۵	ارزش
Z10	Z9	Z8	Z7	Z6	Z5	Z4	Z3	Z2	Z1	ویژگی
۰/۲۸	۰/۲۶	۰/۴۶	۰/۱۹	۰/۵۴	۰/۷۵	۰/۷۱	۰/۲۹	۰/۴۴	۰/۶۷	ارزش

می‌شوند؛ که در جدول (۶) نتیجه به‌روزرسانی کروموزوم‌ها نشان داده شده است.

جدول (۵): ویژگی‌های انتخاب‌شده توسط کروموزوم‌های نمونه

ارزش	SIFT	KAZE	HOG	Zernike	شماره کروموزوم
۰/۲۶۹۸	۱۰-۹-۵-۴-۲	۶-۴-۳	۹-۸-۷-۵-۴	۶-۵-۴-۱	۱
۰/۲۴۳۰	۸-۴-۳	۱۰-۸-۶	۸-۷-۵	۹-۸-۳-۲	۲
۰/۲۷۴۹	۹-۷-۶-۵	۴	۹-۵	۱۰-۷-۱	۳
۰/۲۶۵۹	۹-۵	۸-۷-۳	۱۰-۸-۲	۴-۳	۴

جدول (۴): ویژگی‌های انتخاب‌شده بر اساس کروموزوم جدول (۳)

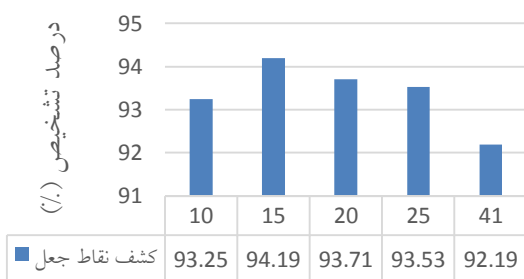
نوع ویژگی	Zernike	HOG	KAZE	SIFT
انتخاب‌شده	۱-۴-۵-۶	۴-۵-۷-۸-۹	۳-۴-۶	۲-۴-۵-۹-۱۰

هزینه محاسبه‌شده برای این کروموزوم به میزان ۰/۲۶۹۸ درصد است. نمونه کروموزوم دیگر که در این نسل ایجاد شده، به‌صورت جدول (۵) است.

در مرحله بعد، ویژگی‌ها با استفاده از عملگرهای ادغام تک‌نقطه‌ای و دونقطه‌ای و همچنین جهش کروموزوم‌ها به‌روز

جدول (۶): به‌روزرسانی کروموزوم‌های جدول (۵)

ارزش	SIFT	KAZE	HOG	Zernike	توضیحات	شماره کروموزوم
۰/۲۰۶۸	۸-۴-۳	۱۰-۸-۴-۳	۹-۸-۷-۵-۴	۶-۵-۴-۱	ادغام تک‌نقطه‌ای	۱
۰/۱۸۹۲	۱۰-۹-۵-۴-۲	۶	۸-۷-۵	۹-۸-۳-۲	ادغام تک‌نقطه‌ای	۲
۰/۳۲۵۷	۹-۷-۶-۵	۸-۷-۳	۱۰-۸-۵	۱۰-۷-۱	ادغام دونقطه‌ای	۳
۰/۲۶۷۱	۹-۵	۴	۹-۲	۴-۳	ادغام دونقطه‌ای	۴
۰/۲۰۶۷	۱۰-۹-۶-۴-۲	۸-۵-۳	۹-۵-۴	۶-۱	جهش	۵

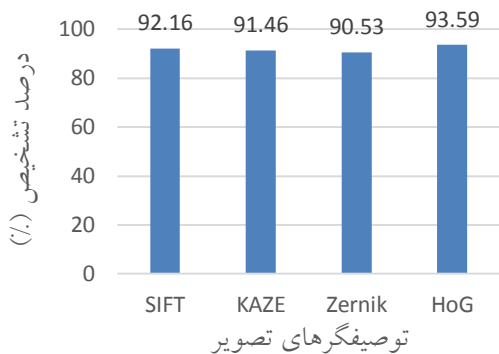


شکل (۱۴): بررسی درصد تشخیص میزان کشف جعل به‌ازای کاهش ابعاد مختلف

۴-۵. پیاده‌سازی الگوریتم تحلیل مؤلفه اصلی و کاهش ابعاد ویژگی‌ها

در این بخش، پس از اعمال الگوریتم تحلیل مؤلفه اصلی به بررسی عملکرد سیستم پرداخته، میزان کاهش ابعاد به‌صورت شکل (۱۴) در نظر گرفته شده و همچنین میزان کشف نقاط جعل نیز بررسی شده است.

تشخیص است برسیم. در مرحله چهارم، با استفاده از تحلیل مؤلفه اصلی به دنبال کاهش ابعاد نیز هستیم. در نتیجه با کاهش ابعاد، میزان تشخیص مکان‌های جعل تصاویر بررسی می‌شود. پایگاه داده مقایسه شده و میزان تشابه مکان‌های تشخیص داده شده محاسبه می‌شود. هریک از توصیفگرها ویژگی‌های منحصر به فردی از بلوک‌ها را استخراج کرده‌اند که می‌توان آن‌ها را مورد مقایسه قرار داد.



شکل (۱۵): مقایسه درصد تشخیص هریک از توصیفگرها

همان طور که در شکل (۱۵) مشاهده می‌شود، دو توصیفگر HOG و SIFT از دیگر توصیفگرها درصد تشخیص بهتری دارد. توصیفگر HOG نسبت به توصیفگر SIFT به میزان ۲ درصد و نسبت به توصیفگر Zernike به میزان ۴ درصد تشخیص بهتری در نقاط جعل شده دارد.

۱-۵. بررسی میزان تشخیص جعل توسط هریک از توصیفگرها

در این بخش از آزمایش، هریک از توصیفگرها برای تشخیص نقاط جعل به صورت جداگانه روی تصاویر پایگاه داده اعمال شده و نتایج با یکدیگر در شکل (۱۶) مقایسه شده است. برای مشخص کردن میزان عملکرد، نقاط یافته شده توسط هریک از الگوریتم‌ها با نقاط تعیین شده در پایگاه داده مقایسه شده و میزان تشابه مکان‌های تشخیص داده شده محاسبه می‌شود. هریک از توصیفگرها ویژگی‌های منحصر به فردی از بلوک‌ها را استخراج کرده‌اند که می‌توان آن‌ها را مورد مقایسه قرار داد.

همان طور که در شکل (۱۵) مشاهده می‌شود، توصیفگر HOG و SIFT از دیگر توصیفگرها درصد تشخیص بهتری دارد. توصیفگر HOG نسبت به توصیفگر SIFT به میزان

همان طور که در شکل (۱۴) مشاهده می‌شود، با تغییر ابعاد ویژگی‌های استخراج شده، میزان درصد تشخیص نیز تغییر می‌کند. نتایج پژوهش نشان داد که با کاهش ابعاد به میزان ۱۵ بعد، می‌توان درصد تشخیص را به میزان ۹۴/۱۹ درصد بهبود داد. که این میزان نسبت به زمانی که از تمامی ابعاد ویژگی‌ها استفاده می‌شود، درصد تشخیص را به میزان حدود ۲ درصد بهینه می‌کند.

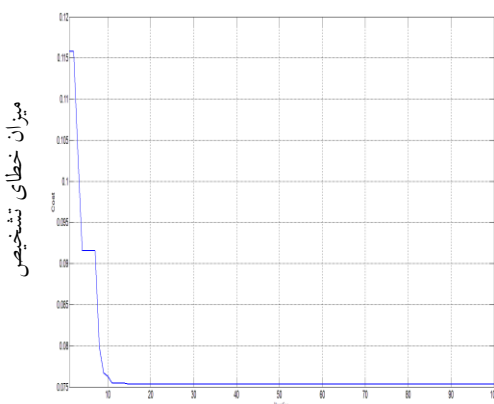
۵. نتایج پژوهش

برای ارزیابی سیستم، آزمایشاتی با در نظر گرفتن انتخاب داده‌های مناسب و کاهش ابعاد داده‌ها به صورت جداگانه و ترکیبی طراحی شده و میزان تأثیر آن‌ها بر تشخیص نقاط جعل مورد بررسی قرار گرفته است. جدول (۷) عناوین آزمایشات را نشان می‌دهد.

جدول (۷): عناوین آزمایش‌ها	
ردیف	عنوان آزمایش
۱	بررسی میزان تشخیص جعل توسط هریک از توصیفگرها به صورت جداگانه
۲	بررسی میزان تشخیص جعل به وسیله ترکیب توصیفگرهای SIFT, KAZE, Zernike, HOG
۳	بررسی عملکرد الگوریتم ژنتیک بر انتخاب ویژگی‌های مناسب با استفاده از توصیفگرهای مناسب با استفاده از توصیفگرهای SIFT, KAZE, Zernike, HOG
۴	بررسی عملکرد روش تحلیل مؤلفه اصلی بر کاهش ابعاد داده‌های استخراج شده از توصیفگرهای SIFT, KAZE, HOG و Zernike

همان طور که در جدول (۷) مشاهده می‌شود، در این پژوهش چهار آزمایش در نظر گرفته شده است. در آزمایش اول به دنبال یافتن میزان ارزش هریک از توصیفگرها برای کشف نقاط جعل در تصاویر پایگاه داده هستیم. در این آزمایش هریک از توصیفگرها جداگانه بررسی شده‌اند. در آزمایش دوم، سه نوع ترکیب از ویژگی‌ها بررسی می‌شوند. در این مرحله، هیچ‌یک از ابعاد این ویژگی‌ها حذف نشدند. در این بخش نیز تأثیر استفاده از چند توصیفگر به طور هم‌زمان بررسی شده است. در آزمایش سوم، با استفاده از الگوریتم ژنتیک ابعادی از این ویژگی‌ها انتخاب شده است. در واقع تنها با این ابعاد به مقایسه بلوک‌ها پرداخته می‌شود تا به هدف این بخش که کاهش ابعاد ویژگی‌ها و کاهش میزان خطای

که بیان شد، تعداد کروموزومها در این بخش برای هر نسل ۱۰۰ عدد در نظر گرفته شد. هریک از کروموزومها از ۴۰ ژن تشکیل شده‌اند. هرکدام از این ژن‌ها نشان‌دهنده احتمال انتخاب ابعاد آن است. هدف انتخاب کمترین تعداد ویژگی برای کاهش خطای تشخیص نقاط جعل است. شکل (۱۷) بهترین عملکرد هر نسل را نشان می‌دهد. همان طور که در شکل (۱۷) مشاهده می‌شود، الگوریتم ژنتیک توانسته مؤثرترین ویژگی‌ها برای تشخیص نقاط جعل را با در نظر گرفتن میزان محاسبات و میزان خطای تشخیص بیابد.



مراحل آموزش ژنتیک (تعداد به‌روزرسانی‌ها)

شکل (۱۷): یافتن بهترین جواب برای مسئله انتخاب ویژگی

در ادامه، جدول (۸) ویژگی‌های انتخاب شده را نشان می‌دهد. همان طور که در جدول (۹) مشاهده می‌شود، الگوریتم ژنتیک در فضای جست‌وجوی خود، مقادیری را به دست آورده است که میزان خطای تشخیص را به ۹۴/۹۶٪ می‌رساند. این ویژگی‌ها شش عدد است که نسبت به تمامی ویژگی‌های در نظر گرفته شده کمتر می‌باشد، در نتیجه حجم محاسبات نیز کم شده است. نتایج نشان می‌دهد میزان تشخیص جعل تصاویر با این ویژگی‌ها به میزان ۰/۰۶٪ در درستی تشخیص تأثیر دارد و به میزان ۱۵ برابر، حجم محاسبات را کاهش می‌دهد.

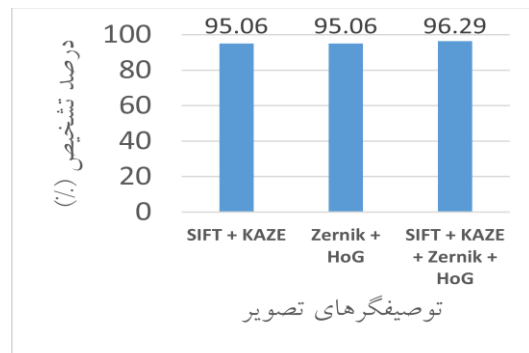
جدول (۸): نمونه ارزش ژن انتخاب ویژگی

S10	S9	S8	S7	S6	S5	S4	S3	S2	S1	ویژگی
۰/۵۵	۰/۲۶	۰/۲۶	۰/۱۸	۰/۲۰	۰/۲۱	۰/۶۸	۰/۵۳	۰/۰۵	۰/۲۳	ارزش
H10	H9	H8	H7	H6	H5	H4	H3	H2	H1	ویژگی
۰/۴۳	۰/۱۸	۰/۰۹	۰/۶۷	۰/۰۹	۰/۲۶	۰/۶۴	۰/۷۵	۰/۲۴	۰/۷۱	ارزش

۲درصد و نسبت به توصیفگر Zernike به میزان ۴درصد تشخیص بهتری در نقاط جعل شده دارد.

۲-۵. بررسی میزان تشخیص جعل توسط ترکیب توصیفگرهای SIFT, KAZE, Zernike و HOG

در این بخش برخلاف آزمایش گذشته، تمامی ابعاد ویژگی‌ها با یکدیگر در تشخیص نقاط جعل استفاده و ترکیباتی از این ویژگی‌ها در نظر گرفته و نتایج نیز محاسبه شده است. ترکیب توصیفگرها سبب می‌شود تا چندین ویژگی منحصر به فرد با یکدیگر در تشخیص مکان جعل شرکت کنند. هیچ‌یک از ابعاد این توصیفگرها حذف نشده‌اند؛ در نتیجه با ترکیب آن‌ها حجم محاسبات نیز بیشتر می‌شود.



شکل (۱۶): مقایسه درصد تشخیص ترکیب‌هایی از توصیفگرها

همان طور که در شکل (۱۶) مشاهده می‌شود، ترکیب تمامی ابعاد ویژگی‌ها نیز می‌تواند عملکرد سیستم را تغییر دهد. نتایج نشان می‌دهد ترکیب تمامی توصیفگرها با یکدیگر سبب می‌شود که عملکرد سیستم به میزان ۳درصد نسبت به بهترین توصیفگر آزمایش قبل (HoG) بهبود یابد.

۳-۵. بررسی عملکرد الگوریتم ژنتیک بر انتخاب ویژگی‌های مناسب با استفاده از توصیفگرهای SIFT, KAZE و Zernike و HOG

الگوریتم ژنتیک برای انتخاب ویژگی‌های مؤثر بر تشخیص نقاط بهتر جعل شده در تصویر استفاده شده است. همان طور

جدول (۹): ویژگی‌های به دست آمده از خروجی الگوریتم ژنتیک

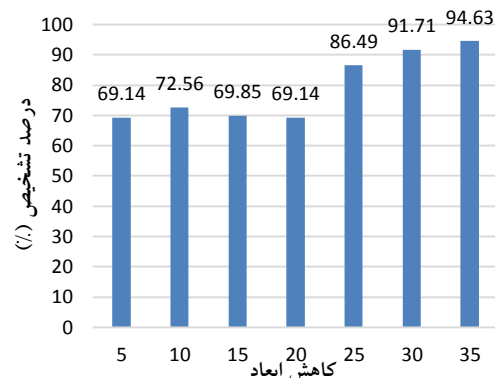
نوع ویژگی	Zernike	HOG	KAZE	SIFT	تعداد ویژگی‌ها	درصد خطای تشخیص
انتخاب شده	-	۱-۳-۴-۷	-	۳-۴	۶	۳/۰۶

۴-۵. بررسی عملکرد روش تحلیل مؤلفه اصلی

بر کاهش ابعاد داده‌های استخراج شده از توصیفگرهای

SIFT, KAZE, Zernike و HOG

همان طور که در شکل (۱۸) مشاهده می‌شود، به ازای P‌های مختلف، میزان تشخیص نقاط جعل بررسی شده است. این شکل نشان می‌دهد هرچه میزان کاهش ابعاد بیشتر باشد، میزان عملکرد تشخیص نیز کاهش می‌یابد. بهترین میزان تشخیص در کاهش ابعاد تمامی توصیفگرها به میزان ۹۴/۶۳٪ است.



شکل (۱۸): درصد تشخیص به ازای ابعاد کاهش یافته

۶. نتیجه‌گیری
 جعل کپی- انتقال تصویر که بخش یا بخش‌هایی از یک تصویر در همان تصویر کپی می‌شوند، یکی از روش‌های مرسوم در جعل تصاویر است. در این مقاله برخی از توصیفگرها مانند SIFT, KAZE, Zernike و HOG در جهت آشکارسازی این نوع جعل مورد ارزیابی قرار گرفتند. نتایج نشان داد توصیفگر HOG نسبت به دیگر روش‌ها عملکرد بهتری از خود نشان می‌دهد. این عملگر توانسته است با دقت ۹۳/۵۹٪ نقاط جعل را بیابد. به علاوه نتایج نشان داد ترکیب کردن این توصیفگرها سبب افزایش عملکرد تشخیص می‌شود. اما از طرفی، حجم محاسبات و سرعت تشخیص نیز کاهش می‌یابد. در ادامه، از الگوریتم ژنتیک به عنوان انتخاب‌کننده بهترین ویژگی‌ها استفاده شد. نتایج نشان داد که می‌توان با انتخاب شش ویژگی به درصد تشخیص ۹۶/۹۴٪ دست یافت. همچنین با استفاده از تحلیل مؤلفه اصلی نیز در صورت کاهش ابعاد به ۳۵ بعد، می‌توان درصد تشخیص ۹۴/۶۳٪ را به دست آورد.

مراجع

- [1] Warif N. B. A., Wahab A. W. A., Idris M. Y. I., Ramli R., Salleh R., Shamshirband S., and Choo K. R., "Copy-move forgery detection: Survey, challenges and future directions", J. Netw. Comput. Appl., vol. 75, pp. 259-278, 2016.
- [2] Yang F., Li J., Lu W., and Weng J., "Copy-move forgery detection based on hybrid features", Eng. Appl. Artif. Intell., vol. 59, pp. 73-83, 2017.
- [3] Oreski S. and Oreski G., "Genetic algorithm-based heuristic for feature selection in credit risk assessment", Expert Syst. Appl., vol. 41, no. 4, pp. 2052-2064, 2014.
- [4] Espejo P. G., Ventura S., and Herrera F., "A survey on the application of genetic programming to classification", IEEE Trans. Systems, Man, and Cybernetics, Part C, vol. 40, no. 2, pp. 121-144, 2010.
- [5] Poon B., Amin M. A., and Yan H., "Improved methods on pca based human face recognition for distorted images", in International Multi-Conference of Engineers and Computer Scientists, Hong Kong, vol. 1, 2016.
- [6] Ng S. C., "Principal component analysis to reduce dimension on digital image", Procedia Computer Science, vol. 111, pp. 113-119, 12 2017.
- [7] Mohan M. and Preetha V., "Gabor filter hog based copy move forgery detection", in IOSR Journal of Electronics and Communication Engineering (IOSR-JECE), 2017, pp. 41-45.
- [8] Amerini I., Ballan L., Caldelli R., Bimbo A. D., and Serra G., "A siftbased forensic method for copy-move attack detection and transformation recovery", IEEE Trans. Information Forensics and Security, vol. 6, no. 3-2, pp. 1099-1110, 2011.
- [9] Alcantarilla P. F., Bartoli A., and Davison A. J., "KAZE features", in Computer Vision - ECCV 2012 - 12th European Conference on Computer Vision, Florence, Italy, October 7-13, 2012, Proceedings, Part VI, 2012, pp. 214-227.
- [10] Ryu S., Lee M., and Lee H., "Detection of copy-rotate-move forgery using zernike moments", in Information Hiding - 12th International Conference, IH 2010, Calgary, AB, Canada, June 28-30, 2010, Revised Selected Papers, 2010, pp. 51-65.

- [11] Zhao Y., Wang S., Zhang X., and Yao H., "Robust hashing for image authentication using zernike moments and local features", IEEE Trans. Information Forensics and Security, vol. 8, no. 1, pp. 55–63, 2013.
- [12] Muhammad G. and Hussain M., "Passive detection of copy-move image forgery using undecimated wavelets and zernike moments", International journal on information, vol. 16, pp. 1343–4500, 05 2013.
- [13] Conotter V., "Active and passive multimedia forensics", Ph.D. dissertation, University of Trento, 2011.
- [14] Al-Sawadi M. S., "Automatic detection of copy-move image forgery based on clustering technique", Master's thesis, King Saud University, 2013.
- [15] Popescu A. C. and Farid H., "Exposing digital forgeries by detecting duplicated image regions", Department of Computer Science, Dartmouth College, Tech. Rep., 2004.
- [16] Zimba M. and Xingming S., "Dwt-pca (evd) based copy-move image forgery detection", International Journal of Digital Content Technology and its Applications, vol. 5, pp. 251–258, 01 2011.
- [17] Kang X. and Wei S., "Identifying tampered regions using singular value decomposition in digital image forensics", in International Conference on Computer Science and Software Engineering, CSSE 2008, Volume 3: Grid Computing / Distributed and Parallel Computing / Information Security, December 12-14, 2008, Wuhan, China, 2008, pp. 926–930.
- [18] Davarzani R., Yaghmaie K., Mozaffari S., and Tapak M., "Copy-move forgery detection using multiresolution local binary patterns", Forensic science international, vol. 231, pp. 61–72, 09 2013.
- [19] Christlein V., Riess C., and Angelopoulou E., "On rotation invariance in copy-move forgery detection", in 2010 IEEE International Workshop on Information Forensics and Security, WIFS 2010, Seattle, WA, USA, December 12-15, 2010, pp. 1–6.
- [20] Espejo P. G., Ventura S., and Herrera F., "A survey on the application of genetic programming to classification", IEEE Trans. Systems, Man, and Cybernetics, Part C, vol. 40, no. 2, pp. 121–144, 2010.
- [21] Shabanifard M., Shayesteh M. G., and Akhaee M. A., "Forensic detection of image manipulation using the zernike moments and pixel-pair histogram", IET Image Processing, vol. 7, no. 9, pp. 817–828, December 2013.
- [22] Cao Y., Gao T., Fan L., and Yang Q., "A robust detection algorithm for copy-move forgery in digital images", Forensic Science International, vol. 214, no. 1, pp. 33 – 43, 2012.
- [23] Sreelakshmy I. and Kovoov B., "Hybrid Method for Copy-Move Forgery Detection in Digital Images", 01 2019, pp. 119–127.
- [24] Wang C., Zhang Z., and Zhou X., "An image copy-move forgery detection scheme based on A-KAZE and SURF features", Symmetry, vol. 10, no. 12, p. 706, 2018.
- [25] Lee J., Chang C., and Chen W., "Detection of copy-move image forgery using histogram of orientated gradients", Inf. Sci., vol. 321, pp. 250–262, 2015.
- [26] Zhang Z., Wang G., Bian Y., and Yu Z., "A novel model for splicing detection", in Fifth International Conference on Bio-Inspired Computing: Theories and Applications, BIC-TA 2010, University of Hunan, Liverpool Hope University, Liverpool, United Kingdom / Changsha, China, September 8-10 and September 23-26, 2010, 2010, pp. 962–965.
- [27] Amerini I., Ballan L., Caldelli R., Bimbo A. D., and Serra G., "A siftbased forensic method for copy-move attack detection and transformation recovery", IEEE Trans. Information Forensics and Security, vol. 6, no. 3-2, pp. 1099–1110, 2011.
- [28] Pan X. and Lyu S., "Detecting image region duplication using SIFT features", in Proceedings of the IEEE International Conference on Acoustics, Speech, and Signal Processing, ICASSP 2010, 14-19 March 2010, Sheraton Dallas Hotel, Dallas, Texas, USA, 2010, pp. 1706–1709.
- [29] Amerini I., Ballan L., Caldelli R., Bimbo A. D., Tongo L. D., and Serra G., "Copy-move forgery detection and localization by means of robust clustering with j-linkage", Signal Process. Image Commun., vol. 28, no. 6, pp. 659–669, 2013.
- [30] Costanzo A., Amerini I., Caldelli R., and Barni M., "Forensic analysis of SIFT keypoint removal and injection", IEEE Trans. Information Forensics and Security, vol. 9, no. 9, pp. 1450–1464, 2014.
- [31] Lynch G., Shih F. Y., and Liao H. M., "An efficient expanding block algorithm for image copy-move forgery detection", Inf. Sci., vol. 239, pp. 253–265, 2013.
- [32] Pan X. and Lyu S., "Region duplication detection using image feature matching", IEEE Trans. Information Forensics and Security, vol. 5, no. 4, pp. 857–867, 2010.
- [33] Ketenci S. and Ulutas G., "Copy-move forgery detection in images via 2d-fourier transform", in 36th International Conference on Telecommunications and Signal Processing, TSP 2013, Rome, Italy, 2-4 July, 2013, 2013, pp. 813–816.
- [34] Kang X., Stamm M. C., Peng A., and Liu K. J. R., "Robust median filtering forensics using an autoregressive model", IEEE Trans. Information Forensics and Security, vol. 8, no. 9, pp. 1456–1468, 2013.
- [35] Le-Tien T., Phan-Xuan H., Nguyen Chinh T., and Do-Tieu T., "Image forgery detection: A low computational-cost and effective data-driven model", International Journal of Machine Learning and Computing, vol. 9, pp. 181–188, 04 2019.